

Partícula livre e tunelamento quântico

Introdução à Química Moderna

Prof. Guilherme Duarte, Ph. D.

1 A partícula livre

Ao longo das últimas aulas, lidamos com as regras básicas da mecânica quântica. Nesta aula, começaremos a lidar com a solução da equação de Schrödinger para diversos sistemas simples usados como modelos para fenômenos mais complexos. O exemplo mais simples é a partícula livre, em que a energia potencial no sistema é zero, $V(x) = 0$. A equação de Schrödinger da partícula livre é:

$$i\hbar \frac{\partial}{\partial t} |\Psi\rangle = \frac{-\hbar^2}{2m} \frac{\partial^2}{\partial x^2} |\Psi\rangle \quad (1)$$

Como $V(x) = 0$, a equação é separável ao se considerar $\Psi(x, t) = \psi(x)\varphi(t)$, o que nos leva a duas equações diferenciais:

$$i\hbar \frac{d}{dt} \varphi(t) = E\varphi(t) \quad (2)$$

$$\frac{-\hbar^2}{2m} \frac{d^2}{dx^2} \psi(x) = E\psi(x) \quad (3)$$

A solução da equação 2 é facilmente encontrada:

$$\begin{aligned} \frac{1}{\varphi(t)} \frac{d\varphi}{dt} = \frac{E}{i\hbar} &\implies \frac{1}{\varphi(t)} \frac{d\varphi}{dt} dt = \frac{E}{i\hbar} dt \implies \\ \int_0^t \frac{1}{\varphi(t')} \frac{d\varphi}{dt'} dt' &= \int_0^t \frac{E}{i\hbar} dt' \iff \int_0^\varphi \frac{d\varphi'}{\varphi'} = \int_0^t \frac{E}{i\hbar} dt' \implies \\ \varphi(t) &= e^{-iEt/\hbar} \end{aligned} \quad (4)$$

No caso da equação 3, vale a pena discutir melhor a natureza do operador Hamiltoniano antes de resolvê-la. Como não há energia potencial, a partícula livre somente contém energia cinética e isso se reflete no operador Hamiltoniano:

$$\hat{H} = \frac{-\hbar^2}{2m} \frac{d^2}{dx^2} = \frac{\hat{p}_x^2}{2m} \quad (5)$$

Neste caso, como a energia potencial é zero e o operador Hamiltoniano (que dá a energia total do sistema) é proporcional ao quadrado do momentum, $[\hat{H}, \hat{p}_x] = 0$, logo tanto o Hamiltoniano quanto o momentum têm as mesmas autofunções. Ao invés de resolver uma equação diferencial de segunda ordem, podemos resolver uma equação mais simples:

$$\hat{p}_x \psi(x) \equiv -i\hbar \frac{d}{dx} \psi(x) = p\psi(x) \quad (6)$$

Da mesma forma que a equação 2, a equação 6 é resolvida por integração direta para encontrar:

$$\psi_1(x) = C_+ e^{ipx/\hbar} = C_+ e^{ikx}, \quad (7)$$

onde $k = p/\hbar$, conforme estabelecido por de Broglie. A função de onda descrita pela equação 6 é, conforme podemos verificar, uma onda plana de momentum $p = k\hbar$, em que p pode assumir todos os valores ($-\infty \leq p \leq +\infty$). $\psi(x)$, nesse caso, não representa um estado quântico aceitável porque não é uma função normalizável:

$$\int_{-\infty}^{+\infty} |\psi_1(x)|^2 dx = \int_{-\infty}^{+\infty} |C_+|^2 dx \implies \text{diverge!} \quad (8)$$

Sob o ponto de vista do princípio de incerteza, como p_x está totalmente determinado (i.e., $\Delta p_x = 0$), $\Delta x \rightarrow \infty$, daí resulta a densidade de probabilidade constante em todo o espaço.

Observe, entretanto, que resolver a equação 6 não nos dá a solução completa para a equação 3. Uma equação diferencial de segunda ordem precisa de duas soluções linearmente independentes, logo podemos supor uma função do tipo:

$$\psi_2(x) = C_- e^{-ikx},$$

o que levaria a uma solução geral do tipo:

$$\psi(x) = C_- e^{-ikx} + C_+ e^{ikx} \quad (9)$$

A solução ψ_1 pode ser interpretada como um feixe estacionário de partículas de momentum igual a $+p = +k\hbar$; a solução ψ_2 , por sua vez, um feixe estacionário de partículas de momentum $-p = -k\hbar$: um feixe se movendo para a direita e outro para a esquerda, respectivamente.

A utilidade das autofunções do momentum vem do fato que qualquer função de onda normalizável pode ser expandida em termos das ondas planas descritas na equação 7:

$$\psi(x) = \int_{-\infty}^{+\infty} C(k) e^{ikx} dk. \quad (10)$$

Incluindo o termo dependente do tempo, o estado mais geral possível de uma partícula livre em uma dimensão é o de um pacote de ondas:

$$\psi(x) = \int_{-\infty}^{+\infty} C(k) e^{ikx} e^{-iE(k)t/\hbar} dk, \quad (11)$$

onde $E = k^2 \hbar^2 / 2m$. Pela regra da normalização, $|C(k)|^2 dk$ deve ser proporcional à probabilidade de encontrar a partícula com momentum entre p e $p + dp$, o que permite que a função de onda descrita pela equação 11 seja usada para descrever partículas aproximadamente localizadas, como elétrons ou fótons viajando por um meio. Observe que a integral com relação a k se trata de uma combinação linear de soluções da equação de Schrödinger em que os coeficientes são determinados por $C(k)$, chamada de função de formato, que geralmente é uma função bastante concentrada em determinados valores de k , como uma gaussiana centrada em um valor k_0 . É importante observar que a largura da gaussiana pode ser usada para estimar a incerteza no momentum, o que nos garante conhecer a posição com alguma precisão devido ao princípio da incerteza de Heisenberg ($\Delta x \Delta p_x \geq \hbar/2$).

Reescrevendo a equação 11 em termos da frequência angular, temos que:

$$\Psi(x, t) = \int_{-\infty}^{+\infty} C(k) e^{ikx} e^{-i\omega(k)t} dk, \quad (12)$$

Observe que o pacote de ondas contém diversos comprimentos de onda. Para um fóton, $E = pc$ e, portanto, $\omega = kc$; para um elétron não relativístico, $E = p^2/2m \implies \omega = \hbar k^2/2m$. Se expandirmos $\omega(k)$ em série de Taylor ao redor do centro do pacote de onda, k_0 , e negligenciando os termos de ordem maior que 2, temos que:

$$\begin{aligned}\omega(k) &= \omega(k_0) + \left. \frac{d\omega}{dk} \right|_{k_0} (k - k_0) + \frac{1}{2} \left. \frac{d^2\omega}{dk^2} \right|_{k_0} (k - k_0)^2 \\ &= \omega_0 + v_g(k - k_0) + \beta(k - k_0)^2\end{aligned}$$

Para o fóton, $v_g = d\omega/dk = c$ e $\beta = 0$; para um elétron não relativístico, $v_g = \hbar k_0/m$ e $\beta = \hbar/2m$. Calculando a integral da equação 12 se $C(k) = e^{-\alpha(k-k_0)^2}$, temos que:

$$\begin{aligned}\Psi(x, t) &= \sqrt{\frac{\pi}{\alpha + \beta^2 t}} e^{i(k_0 x - \omega_0 t)} e^{-(x - v_g t)^2 / 4(\alpha + i\beta t)} \implies \\ |\Psi(x, t)|^2 &= \frac{\pi}{\sqrt{\alpha^2 + \beta^2 t}} e^{-\alpha(x - v_g t)^2 / 2(\alpha^2 + \beta^2 t^2)}\end{aligned}\tag{13}$$

Observe que o fóton se moverá na velocidade da luz e que o pacote de ondas não se dispersará porque $\beta = 0$. No caso de elétrons não-relativísticos, o pacote de ondas se move com velocidade de grupo $v_g = p/m$, mas se dispersa com o tempo. Veja na fórmula da distribuição de probabilidade que a incerteza nesse pacote de ondas é $\sigma = \sqrt{\alpha^2 + (\hbar t/2m)^2}$, o que provoca o aumento da largura do pacote de ondas.

2 Degrau de potencial

Chamamos de degrau de potencial a função:

$$V(x) = \begin{cases} 0, & x < 0 \\ V, & x \geq 0 \end{cases}\tag{14}$$

Equação de Schrödinger deve ser resolvida em dois cenários, caso a energia da partícula for maior que o degrau ($E > V$) ou se a energia é menor que o degrau ($0 \leq E < V$), como mostra a figura 1.

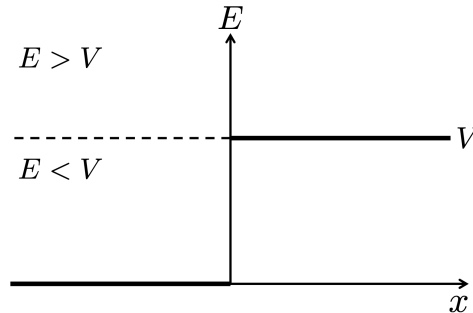


Figura 1: Sistema com degrau de potencial.

2.1 Caso $E > V$

São duas as regiões, uma com $V(x) = 0$ e outra com $V(x) = V$. Temos, então, que resolver duas equações de Schrödinger para cada caso:

$$\begin{aligned} \frac{d^2\psi_1}{dx^2} + k_1^2\psi(x) &= 0 \quad (x < 0), \quad k_1 = \frac{p_1}{\hbar} = \frac{\sqrt{2mE}}{\hbar} \\ \frac{d^2\psi_2}{dx^2} + k_2^2\psi(x) &= 0 \quad (x \geq 0), \quad k_2 = \frac{p_2}{\hbar} = \frac{\sqrt{2m(E-V)}}{\hbar} \end{aligned} \quad (15)$$

Conforme anteriormente, a solução dessas equações deve ter a forma:

$$\begin{aligned} \psi_1(x) &= Ae^{ik_1x} + Be^{-ik_1x} \\ \psi_2(x) &= Ce^{ik_2x} + De^{-ik_2x}, \end{aligned} \quad (16)$$

onde cada solução particular corresponde a ondas se movendo no sentido positivo (expoentes ikx) e a ondas se movendo no sentido negativo (expoentes $-ikx$). Para completamente determinar a solução, precisamos avaliar as condições de contorno. Vamos considerar uma partícula ou um feixe de partículas incidentes da esquerda para a direita: as partículas viajam ao longo de x livremente até começarem a sentir um potencial em $x = 0$. Parte do feixe é transmitido, parte é refletido. Podemos dizer, então que:

$$\psi(x) = \begin{cases} Ae^{ik_1x} + Be^{-ik_1x} \\ Ce^{ik_2x} \end{cases} \quad (17)$$

em que Ae^{ik_1x} corresponde ao feixe incidente, Be^{-ik_1x} corresponde ao feixe refletido em $x = 0$ e Ce^{ik_2x} , ao feixe transmitido. Lembrando que $k = p/\hbar$ e que o comprimento de onda $\lambda = h/p$, podemos inferir que o comprimento de onda do feixe transmitido é maior que o do feixe incidente. Se considerarmos uma partícula ou um feixe de partículas incidentes da direita para esquerda, temos uma solução simétrica de mesma energia:

$$\psi(x) = \begin{cases} Be^{-ik_1x} \\ Ce^{ik_2x} + De^{-ik_2x} \end{cases} \quad (18)$$

Observe que as equações 17 e 18 se referem a soluções de energia idêntica. Quando há dois autoestados com mesmo autovalor, dizemos que eles são **degenerados**. Nesse caso, o motivo é claro: o feixe de partículas pode se mover em dois sentidos opostos.

Uma questão importante nesse problema é o valor de ψ em $x = 0$, onde o potencial é descontínuo. Nesse caso, temos que garantir que $\psi(x)$ e $d\psi(x)/dx$ sejam contínuas em $x = 0$, ou seja:

$$\begin{aligned} \psi_1(-0) &= \psi_2(+0) \\ \frac{d\psi_1}{dx}(-0) &= \frac{d\psi_2}{dx}(+0) \end{aligned} \quad (19)$$

em que o sinal indica um limite calculado pela esquerda ou pela direita. Essas condições aplicadas à equação 17 resultam em:

$$\begin{cases} A + B = C \\ ik_1(A - B) = ik_2C \end{cases} \quad (20)$$

que nos dão uma relação entre os coeficientes:

$$\begin{cases} A = \frac{1}{2} \left(1 + \frac{k_2}{k_1} \right) C \\ B = \frac{1}{2} \left(1 - \frac{k_2}{k_1} \right) C. \end{cases} \quad (21)$$

As razões entre os coeficientes nos dão informação interessante a respeito do fenômeno de transmissão e de reflexão:

$$\begin{aligned} \frac{B}{A} &= \frac{k_1 - k_2}{k_1 + k_2} = \text{amplitude de reflexão} \\ \frac{C}{A} &= \frac{2k_1}{k_1 + k_2} = \text{amplitude de transmissão} \end{aligned} \quad (22)$$

2.1.1 Conservação de probabilidade

Para calcular as probabilidades de reflexão e transmissão, temos que entender o conceito de corrente de probabilidade. Sabemos que a função de onda é a amplitude de probabilidade e que $\langle \psi | \psi \rangle = 1$ significa que a probabilidade se conserva:

$$\frac{d}{dt} \int_{-\infty}^{\infty} |\Psi(x, t)|^2 dx = 0.$$

Chamamos a quantidade $\rho(x, t) = |\Psi(x, t)|^2$ de densidade de probabilidade e podemos encontrar uma relação interessante a partir de sua fórmula:

$$\frac{d}{dt} \rho(x, t) = \frac{\partial}{\partial t} |\Psi(x, t)|^2 = \frac{\partial}{\partial t} \Psi^*(x, t) \Psi(x, t) = \Psi^* \frac{\partial \Psi}{\partial t} + \Psi \frac{\partial \Psi^*}{\partial t} \quad (23)$$

Usando a equação de Schrödinger dependente do tempo ($H\Psi = i\hbar\partial\Psi/\partial t$), lembrando que o Hamiltoniano é $H = -(\hbar^2/2m)\nabla^2 + V$, se tratarmos o problema de forma unidimensional, temos que:

$$\begin{aligned} \frac{d}{dt} \rho(x, t) &= \frac{\Psi^*}{i\hbar} \left[-\frac{\hbar^2}{2m} \frac{\partial^2 \Psi}{\partial x^2} + V(x)\Psi \right] - \frac{\Psi}{i\hbar} \left[-\frac{\hbar^2}{2m} \frac{\partial^2 \Psi^*}{\partial x^2} + V(x)\Psi^* \right] \\ &= -\frac{\hbar}{2mi} \left(\Psi^* \frac{\partial^2 \Psi}{\partial x^2} - \Psi \frac{\partial^2 \Psi^*}{\partial x^2} \right) \\ &= -\frac{\hbar}{2mi} \frac{\partial}{\partial x} \left(\Psi^* \frac{\partial \Psi}{\partial x} - \Psi \frac{\partial \Psi^*}{\partial x} \right). \end{aligned} \quad (24)$$

O termo entre parêntesis é proporcional à corrente de probabilidade, $j(x, t)$, e a equação 24 é chamada de *equação da continuidade*:

$$\frac{d\rho}{dt} + \frac{\partial j}{\partial x} = 0. \quad (25)$$

A equação 25 representa a lei de conservação de probabilidade. Para determinar as probabilidades de transmissão e de reflexão, temos que calcular a corrente de probabilidade j para a função de onda da partícula livre frente a um degrau de potencial:

$$\begin{aligned} j &= \frac{\hbar}{2mi} \left[\frac{ip}{\hbar} |\Psi|^2 - \left(\frac{-ip}{\hbar} |\Psi|^2 \right) \right] \\ &= \frac{p}{m} \rho. \end{aligned} \quad (26)$$

Temos, então, três correntes – incidente, refletida e transmitida:

$$\begin{aligned} j_{\text{incidente}} &= |A|^2 \frac{\hbar k_1}{m} \\ j_{\text{refletida}} &= -|B|^2 \frac{\hbar k_1}{m} \\ j_{\text{transmitida}} &= |C|^2 \frac{\hbar k_2}{m}. \end{aligned} \quad (27)$$

Em termos de feixes de partículas, as correntes são proporcionais aos números de partículas incidentes, refletidas e transmitidas por unidade de tempo, assim, as probabilidades de transmissão P_t e reflexão P_r são:

$$\begin{aligned} t &= \frac{j_{\text{transmitida}}}{j_{\text{incidente}}} = \frac{k_2}{k_1} \left| \frac{C}{A} \right|^2 = \left[\frac{4k_1 k_2}{(k_1 + k_2)^2} \right] \\ r &= -\frac{j_{\text{refletida}}}{j_{\text{incidente}}} = \left| \frac{B}{A} \right|^2 = \left(\frac{k_1 - k_2}{k_1 + k_2} \right)^2 \end{aligned} \quad (28)$$

Note que $t + r = 1$, conforme o esperado.

2.2 Caso $0 \leq E < V$

Neste caso, temos duas regiões com soluções ligeiramente diferentes. Em $x < 0$, a partícula ou feixe de partículas têm soluções como as partículas livres dos exemplos anteriores. Quando $x > 0$, entretanto, a solução da equação diferencial é diferente, como foi visto quando estudamos ondas clássicas. A solução na região de potencial V tem forma:

$$\psi_2(x) = C e^{-k_2 x} + D e^{k_2 x} \quad (29)$$

onde $k_2 = \sqrt{2m(V - E)}/\hbar$. Como a exponencial com argumento positivo apresenta crescimento

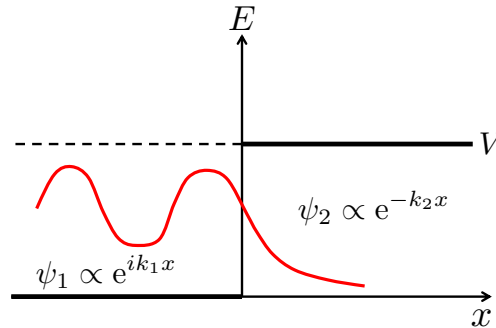


Figura 2: Funções de onda em sistema com degrau de potencial.

exponencial para $x \rightarrow \infty$, $D = 0$, necessariamente. Usando a definição de amplitude de reflexão da equação 22:

$$\frac{B}{A} = \frac{k_1 - ik_2}{k_1 + ik_2} \implies r = \left| \frac{B}{A} \right|^2 = 1, \quad (30)$$

ou seja, ocorre a reflexão total do feixe, assim como na mecânica clássica. Note que, classicamente, a região $x > 0$ não é acessível, mas na mecânica quântica existe uma probabilidade finita e não nula de se encontrar a partícula dentro dessa *região classicamente proibida* (Figura 2), fenômeno análogo a *ondas evanescentes*.

3 Barreira de potencial retangular

Um exemplo particularmente interessante é o de uma barreira retangular de potencial, que pode servir de modelo para diversos processos físico-químicos como o decaimento de partículas α e a inversão de moléculas como a amônia. Assim como no problema do degrau de potencial, temos que

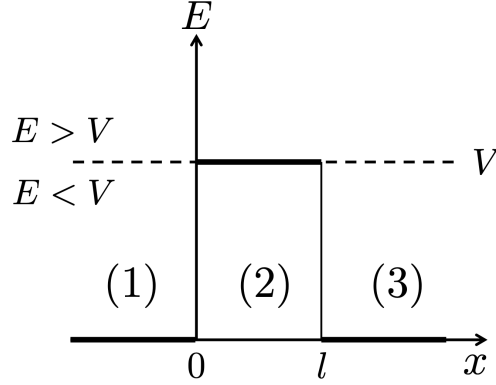


Figura 3: Sistema com barreira de potencial retangular

dividir em dois casos, quando a partícula tem energia maior que o potencial ($E > V$) ou quando ela tem energia menor que o potencial ($0 \leq E < V$).

3.1 Caso $E > V$

Nas regiões (1), (2) e (3), as funções de onda são funções de partículas livres:

$$\psi_1(x) = Ae^{ik_1x} + Be^{-ik_1x} \quad (31)$$

$$\psi_2(x) = Ce^{ik_2x} + De^{-ik_2x} \quad (32)$$

$$\psi_3(x) = Ee^{ik_3x} + Fe^{-ik_3x} \quad (33)$$

Para não nos delongar muito, vamos considerar somente uma partícula incidente oriunda da esquerda em direção à direita. Assim, $F = 0$. Como em $x = l$ $\psi_2(l) = \psi_3(l)$ e $d\psi_2(l)/dx = d\psi_3(l)/dx$, C e D podem ser descritas em termos de E . De forma semelhante, a natureza da função de onda em $x = 0$ leva A e B serem descritas em termos de C e D , logo, por consequência, em termos de E . Assim, temos que:

$$A = \left[\cos(k_2l) - i \frac{k_1^2 + k_2^2}{2k_1k_2} \sin(k_2l) \right] e^{ik_1l} E \quad (34)$$

$$B = i \frac{k_2^2 - k_1^2}{2k_1k_2} \sin(k_2l) e^{ik_1l} E$$

Conforme vocês podem observar, o problema é matematicamente exaustivo, mas há alguns detalhes interessantes. Se calcularmos a probabilidade de transmissão da partícula:

$$t = \frac{4E(E - V)}{4E(E - V) + V^2 \sin^2[\sqrt{2m(E - V)l/\hbar}]} = \frac{4E(E - V)}{4E(E - V) + V^2 \sin^2(k_2l)} \quad (35)$$

Observe que t é uma função oscilante cujo valor máximo é 1 quando $k_2 l = n\pi$. Quando $E > V$, a reflexão da partícula em cada discontinuidade de potencial corre sem mudança de fase da função de onda. Por conta disso, nessas condições, é possível a formação de ondas estacionárias na região (2), o que caracteriza um espalhamento ressonante, isto é, ocorre a formação de um estado metaestável em que uma partícula, ou um pacote de ondas, pode permanecer por tempos relativamente longos.

3.2 Caso $0 < E \leq V$

Aqui nos interessa o que acontece na região classicamente proibida. Anteriormente vimos que a partícula se comporta como uma onda evanescente; isso implica em uma probabilidade finita de que a partícula atravesse a barreira. Chamamos esse fenômeno de tunelamento. A matemática é bastante semelhante à do problema anterior, em que o vetor de onda passa a ser ik_2 , $k_2 = \sqrt{2m(V - E)}/\hbar$. O coeficiente de transmissão é dado por:

$$t = \frac{4E(E - V)}{4E(E - V) + V^2 \sinh^2(k_2 l)} \quad (36)$$

onde $\sinh \theta = (e^\theta - e^{-\theta})/2$. Quando $k_2 l \gg 1$, temos que:

$$t \approx \frac{16E(V - E)}{V^2} e^{-2k_2 l} \quad (37)$$

O comportamento da função de onda pode ser visto na figura 4. Note que o momentum em (1) e em (3) é idêntico, mas que a amplitude da função de onda diminui após o tunelamento.

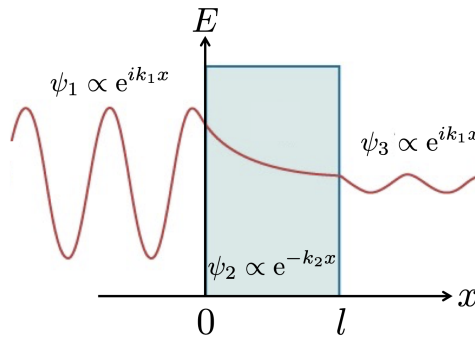


Figura 4: Tunelamento quântico

4 Referências

- [1] H. Moysés Nussenzveig, *Curso de Física Básica 4: Ótica, Relatividade e Física Quântica*, Editora Edgard Blücher, 1997. Capítulos 9.5, 9.7, 10.1, 10.2, 10.4